

Leszek Kotulski\*, Adam Sędziwy\*

## Stochastyczne metody generacji IE-grafów

### 1. Wstęp

Transformacje grafowe często są stosowane jako mechanizm formalny w rozpoznawaniu obrazów [1, 2, 3, 4]. Dla algorytmicznych transformacji grafowych opartych na rozbudowie grafu w oparciu kontrolę jego wierzchołków lub krawędzi (*node label controlling*, *edge label controlling*) opracowano efektywne algorytmy parsingu i rozwiązywania problemu przynależności. Tanaka [5] w swoim przeglądzie stosowanych metod syntaktycznego rozpoznawania obrazów jako jedną z najbardziej rozwojowych wymienia gramatyki klasy ETL zdefiniowane przez Flasińskiego [6]. Dla kolejnej wersji gramatyki ETPL(k) powyższe problemy można rozwiązać z kwadratową złożonością obliczeniową  $O(n^2)$ , gdzie  $n$  jest liczbą wierzchołków w grafie. Przy dużych rozmiarach grafów jednak nawet tak dobra złożoność obliczeniowa realizowana w ramach algorytmu sekwencyjnego może prowadzić do nieefektywnych rozwiązań. W związku z powyższym podjęto więc próbę rozproszenia grafu i równoległej realizacji w ramach systemu wieloagentowego [7]. Dla zbadania własności proponowanej metody konieczne jest generacja różnych typów grafów (należących do klasy IE-grafów generowanej przez gramatykę ETPL(k)). W badaniach nad tworzeniem agentowych rozwiązań w zakresie rozpoznawania obrazów napotyka się na problem generacji dużych IE-grafów. W tym celu opracowano generator probabilistyczny IE-grafów, generujący grafy równoważne do tych, wykorzystywanych przez Flasińskiego w syntaktycznym rozpoznawaniu obrazów. Po omówieniu sposobu reprezentacji obrazów przy pomocy IE-grafów i wynikających stąd ograniczeń na ich generację (w rozdziale 2) opiszemy zasady działania generatora oraz przedstawimy charakterystyki generowanych grafów w zależności od metod generacji oraz parametrów generatora (odpowiednio w rozdziałach 3 i 4).

### 2. IE-grafy i ich zastosowanie

W niniejszym artykule chcemy przeanalizować podstawowe statystyczne własności struktur grafowych generowanych przez probabilistyczne generatory. Zakładamy jednak,

---

\* Katedra Automatyki, Akademia Górniczo-Hutnicza w Krakowie

że wygenerują one struktury porównywalne z tymi, które generowane są przez zastosowanie wcześniej ustalonych produkcji określonej gramatyki. Jak już wspomnieliśmy we wstępie, będziemy rozważali indeksowane, krawędziowo-jednoznaczne grafy, zwane dalej IE-grafami (*Indexed Edge-unambiguous*), z uwagi na fakt, że udało się dla nich [8]:

- zdefiniować schemat konstrukcji jednoznacznej i unikalnej grafowej reprezentacji rozważanej klasy obrazów,
- scharakteryzować taką podklasę gramatyk, dla której możliwy jest parsing deterministyczny,
- skonstruować algorytm analizy syntaktycznej charakteryzujący się niewielką złożonością obliczeniową.

Formalnie, indeksowanym, krawędziowo-jednoznacznym grafem, w skrócie IE-grafem, parametryzowanym przez  $\Sigma$  i  $\Gamma$  nazywamy piatkę  $H = (V, D, S, G, \delta)$ , gdzie:

- $V$  – jest skończonym, niepustym zbiorem wierzchołków grafu, którym zostały przypisane w sposób jednoznaczny indeksy na bazie obiektów analizowanego obrazu,
- $\Sigma$  – skończonym, niepustym zbiorem etykiet wierzchołkowych,
- $\Gamma = \{\gamma_1, \dots, \gamma_n: \gamma_1 \leq \dots \leq \gamma_n\}$  – jest skończonym, niepustym zbiorem etykiet krawędziowych uporządkowanych przez relację prostego porządku,
- $D$  – jest zbiorem krawędzi postaci  $(v, \mu, w)$ , gdzie  $w, v \in V$  i  $\mu \in \Gamma$ ,
- $\delta: V \rightarrow \Gamma$  – jest funkcją etykietowania krawędzi ■

Przykładowo, dla analizy zniekształconych obrazów [6] zbiór etykiet krawędziowych, które opisują relacje w przestrzeni dwuwymiarowej jest uporządkowany w następujący sposób:

$$N \leq NE \leq E \leq SE \leq S \leq SW \leq W \leq NW$$

IE grafy są transformowane za pomocą algorytmicznych transformacji grafowych bazujących na kontroli etykiet wierzchołkowych (*node labels control*) [4]. Dla zadanej produkcji w postaci dwóch grafów  $L$  i  $R$  (odpowiednio grafy lewej i prawej strony produkcji) oraz transformacji osadzenia  $E$ , modyfikacja grafu  $G$  przeprowadzona jest w sposób następujący:

- z grafu  $G$  usuwany jest graf izomorficzny do grafu  $L$  (ozn.  $m(L)$ ),
- w miejsce usuniętego fragmentu wstawiany jest graf  $R$ ,
- transformacja osadzenia  $E$  opisuje jak krawędzie łączące  $G \setminus m(L)$  z  $m(L)$  zamienić na krawędzie łączące  $G \setminus m(L)$  z  $R$ .

Dla zapewnienia wielomianowej złożoności parsingu i rozwiązywania problemu przynależności, na stosowane produkcje zostały przyjęte pewne ograniczenia. Już Rozenberg [4]

sugeruje, że bez zmniejszenia ogólności rozwiązania w stosowanych produkcjach lewa strona produkcji powinna być pojedynczym wierzchołkiem (wtedy izomorfizm sprowadza się wyłącznie do zbadania zgodności etykiet). W przypadku generacji grafu, złożoną produkcję z wielowierzchołkową lewą stroną można zastąpić przez sekwencję produkcji prostych (z jednowierzchołkowym grafem L). Flasiński dla uzyskania kwadratowej złożoności obliczeniowej w stosowanych grafowych (ETL/1 [6], ETPL(k) [2,9]) nakłada dodatkowe ograniczenie:

Generowany wierzchołek może być połączony krawędzią:

- z jego rodzicem (tj. wierzchołkiem, który inicjuje jego generację),
- z wierzchołkiem, który jest oddalony od niego o odległość 1 i jest połączony z jego ojcem.

### 3. Generacja IE-grafu

Algorytm działa w oparciu o wierzchołki i krawędzie będące obiektami o następującej strukturze.

- Wierzchołek (*Index*, *Pos*, *data*) – jest obiektem posiadającym unikalny indeks (*Index*), deskryptor położenia (*Pos*), będący zwykle parą współrzędnych kartezjańskich ( $x, y$ ), oraz, opcjonalnie, dodatkowe informacje (*data*).
- Krawędź (*Index1*, *Index2*, *Direction*, *data*) – jest obiektem zawierającym indeksy wierzchołków końcowych (*Index1*, *Index2*), etykietę ( $Direction \in \{N, NE, E, SE, S, SW, W, NW\}$ ) opisującą kierunek wskazywany przez krawędź, oraz, opcjonalnie, dodatkowe informacje (*data*).

Stworzony algorytm działa w sposób iteracyjny: począwszy od pewnego wierzchołka początkowego (o polu  $Index=0$ ) w kolejnych krokach dodawane są do budowanego grafu kolejne wierzchołki i/lub krawędzie. Algorytm działa w dwóch trybach *all-nodes-mode* (AM) oraz *FIFO-mode* (FM). Obie metody różni sposób wyboru węzła „startowego” w ramach kolejnej iteracji.

W podejściu AM wierzchołek „startowy” wybierany jest losowo, ze stałym prawdopodobieństwem, spośród wszystkich istniejących już węzłów grafu. W podejściu FM wykorzystywana jest kolejka FIFO, w której umieszczane są w kolejnych iteracjach wierzchołki nowo utworzone lub te, do których prowadzi dodana aktualnie krawędź. W przypadku gdy w danej iteracji nie doszło ani do wygenerowania nowego wierzchołka, ani nowej krawędzi, wówczas w kolejce umieszczony zostaje losowo wybrany istniejący już wierzchołek grafu.

Po wybraniu węzła „startowego” następuje etap polegający na wylosowaniu ilości krawędzi,  $m$ , jakie mają być dodane do węzła „startowego” danej iteracji. Losowanie to odbywa się zgodnie z rozkładem normalnym  $N(\mu, \sigma)$ . W następnym kroku wykonywane są  $m$ -krotnie subiteracje polegające na losowaniu (ze stałym prawdopodobieństwem) kierunku, na jakim zostanie dodana nowa krawędź (ze zbioru  $\{N, NE, E, SE, S, SW, W, NW\}$ ) i nowy

wierzchołek (o ile jakiś już nie istnieje we wskazywanym położeniu). Zwrot krawędzi określony jest zasadą wynikającą z ograniczeń narzuconych przez gramatykę ETPL(k), przedstawioną niżej. Kiedy nie jest możliwe dodanie krawędzi na danym kierunku wykonywana jest kolejna subiteracja.

Przy generacji nowego wierzchołka w grafie, jego indeks ustawiany jest na zasadzie autoinkrementacji na wartość o 1 większą niż indeks poprzednio utworzonego wierzchołka.

Aby uzyskać zgodność ze strukturami grafowymi generowanymi przez gramatyki ETPL(k) [2, 6, 8, 9] grafy, które chcemy wygenerować, muszą spełniać następujące własności:

- 1) W kolejnym kroku iteracji nowa krawędź może być dodana w dwóch przypadkach:
  - a) Jest to krawędź wchodząca do nowo utworzonego wierzchołka.
  - b) Krawędź ta łączy dwa istniejące już wierzchołki posiadające wspólnego poprzednika.
- 2) Krawędź skierowana jest zawsze od wierzchołka o indeksie mniejszym do wierzchołka o indeksie większym.

Ostateczna topologia grafu zależy od dwóch głównych czynników: wyboru trybu działania algorytmu (AM/FM) oraz parametrów rozkładu normalnego  $\mu$ ,  $\sigma$ . Szczególnie istotny wkład wnosi wartość średnia  $\mu$  decydująca o ilości nowych krawędzi dodawanych do wierzchołka w danej iteracji. Należy podkreślić, że stopień wierzchołka generowanego nie jest jednak prostą funkcją  $\mu$ , gdyż na dodanie nowej krawędzi wpływa także istniejąca już topologia grafu.

Implementacja algorytmu zrealizowana została w języku JAVA przy użyciu biblioteki JUNG 2.0.

### Deskryptory

Ocenę grafu otrzymanego z generatora dokonać można w oparciu o deskryptory dające jego charakterystykę. Charakterystyka powinna zapewniać zadowalające różnicowanie grafów, w zależności od wybranych parametrów generacji. Problematyka tworzenia i wyboru deskryptorów wykracza poza zakres niniejszej pracy, dlatego przedstawione zostaną tylko te, których użyto w badaniu własności IE-grafów otrzymywanych metodą generacji stochastycznej.

- 1) **Ilość krawędzi w grafie.**
- 2) **Średni stopień wierzchołka** – średnia liczona jest wspólnie dla krawędzi wchodzących i wychodzących, po wszystkich węzłach grafu.

$$\text{deg}_{avg}(G) = \frac{1}{|V(G)|} \sum_{v \in V(G)} \text{deg}(v).$$

- 3) **Mimośrodkowość** – określa odległość średniego położenia wierzchołków od wierzchołka startowego (posiadającego indeks równy 0).

$$X_{avg} = \frac{1}{|V(G)|} \sum_{v \in V(G)} v_x, Y_{avg} = \frac{1}{|V(G)|} \sum_{v \in V(G)} v_y, v_{avg} = (X_{avg}, Y_{avg}),$$

$$Ecc = d_{Euclid}(v_{avg}, s),$$

gdzie  $Ecc$  oznacza mimośrodkowość,  $d_{Euclid}$  jest odległością euklidesową położenia dwóch węzłów.

- 4) **Średnica** – maksymalna odległość (w sensie euklidesowym) między dwoma wierzchołkami grafu.

$$D = \max_{u, v \in V(G)} d_{Euclid}(u, v).$$

- 5) **Odległość maksymalna** – maksymalna odległość (w sensie euklidesowym) od węzła startowego.

$$d_{max} = \max_{v \in V(G)} d_{Euclid}(s, v).$$

- 6) **Rozkład ilości węzłów** w zależności od odległości od wierzchołka początkowego – odległość w tym kontekście rozumiana jest jako ilość krawędzi od wierzchołka o indeksie 0, niezależnie od zwrotu krawędzi.

### Przebieg testów

Testy polegały na 100-krotnym wygenerowaniu i obliczeniu deskryptorów IE-grafu o 3000 wierzchołkach, dla każdej z 4 konfiguracji parametrów wejściowych/metod (tab. 1).

**Tabela 1**  
Użyte konfiguracje parametrów generacji IE-grafów

Seria 1	FM, $\mu = 1,5$ , $\sigma = 0,2$
Seria 2	FM, $\mu = 7$ , $\sigma = 0,2$
Seria 3	AM, $\mu = 1,5$ , $\sigma = 0,2$
Seria 4	AM, $\mu = 7$ , $\sigma = 0,2$

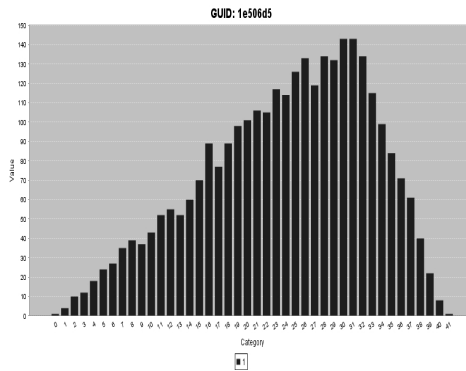
W tabeli 2 przedstawiono otrzymane wartości deskryptorów dla 100 przeprowadzonych generacji.

**Tabela 2**

Wyniki testów otrzymane dla różnych konfiguracji parametrów wejściowych. Deskryptory podano w postaci: wartość min./wartość średnia/wartość maks., przy czym wartości policzono dla 100 generacji

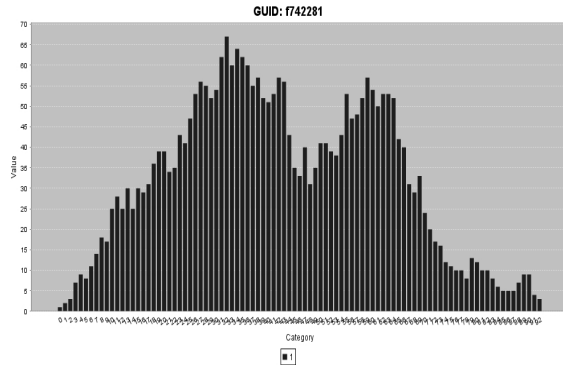
	Seria 1	Seria 2	Seria 3	Seria 4
$ E $	3239/ <b>3296</b> /3380	4248/ <b>4346</b> /4431	4013/ <b>4126</b> /4260	5015/ <b>5136</b> /5325
$\text{deg}_{\text{avg}}(G)$	2,16/ <b>2,20</b> /2,25	2,83/ <b>2,90</b> /2,95	2,68/ <b>2,75</b> /2,84	3,34/ <b>3,42</b> /3,55
Ecc	1,19/ <b>6,42</b> /14,71	0,20/ <b>2,87</b> /7,23	0,17/ <b>2,24</b> /5,06	0,36/ <b>2,42</b> /7,11
D	75,6/ <b>88,3</b> /100,6	67,9/ <b>73,2</b> /81,0	67,6/ <b>72,7</b> /79,1	67,4/ <b>72,2</b> /79,8
$d_{\text{max}}$	39,0/ <b>50,6</b> /63,5	36,1/ <b>39,6</b> /47,2	34,9/ <b>38,7</b> /44,7	35,1/ <b>39,0</b> /45,3

Ostatni deskryptor można interpretować jako rozkład mówiący o tym, w jakiej odległości od wierzchołka startowego  $s$  gromadzi się najwięcej wierzchołków. Inaczej mówiąc, w jakim „pierścieniu” o środku w  $s$ , jest najwięcej wierzchołków. Należy raz jeszcze podkreślić, że w tym przypadku mówimy nie o odległości euklidesowej, ale o ilości krawędzi dzielących dany wierzchołek od  $s$ .

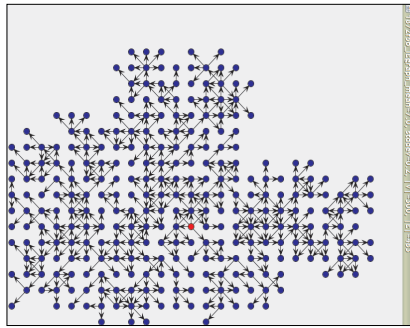
**Rys. 1.** Rozkład dla serii 2, 3, 4

Rysunek 1 pokazuje otrzymany rozkład, charakterystyczny dla serii 2–4. Testy pokazują, że rozkłady dla serii 2–4 charakteryzują się podobnymi kształtami, a w każdym z nich występuje pojedyncze maksimum. Odmiennie zachowują się grafy generowane w serii 1, gdzie występują przypadki dwóch, wyraźnie rozdzielonych maksimów lokalnych, odpowiadających zagęszceniom w dwóch różnych „pierścieniach” (rys. 2).

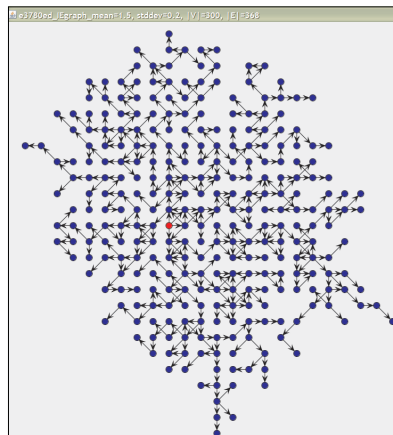
Grafy o najgęstszej strukturze uzyskuje się poprzez zastosowanie podejścia AM i wysokiej średniej ilości dodawanych krawędzi  $\mu$  (rys. 3). W takim przypadku, w grafie wzrasta ilość 4-klik oraz 4-klik z usuniętą jedną bądź dwoma krawędziami. Rysunki 4 i 5 przedstawiają reprezentantów grup grafów 300 wierzchołkowych, generowanych przy konfiguracji jak w serii 3, oraz dla konfiguracji serii 1.



Rys. 2. Rozkład dla serii 1

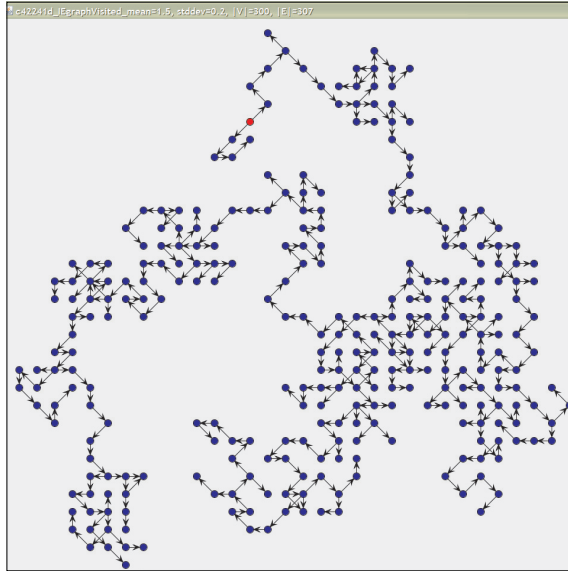


Rys. 3. Graf – seria 4. Na czerwono zaznaczono wierzchołek startowy



Rys. 4. Graf – seria 3. Na czerwono zaznaczono wierzchołek startowy

Na rysunku 5 widoczne jest, że graf posiada rzadszą strukturę, co wynika zarówno z niższej wartości parametru  $\mu$ , jak i strategii dodawania nowych wierzchołków, polegającej na przyłączaniu ich do ostatnio dodanych węzłów grafu (FM).



Rys. 5. Graf – seria 1. Na czerwono zaznaczono wierzchołek startowy

#### 4. Wnioski

Przedstawiony w poprzednim rozdziale stochastyczny generator IE-grafów stanowi efektywne narzędzie generacji grafów o żądanych właściwościach w zakresie struktury. Metodą opisu badanych własności jest analiza deskryptorów, pozwalająca na ilościowe porównanie otrzymanych grafów. W przeprowadzonych testach otrzymano topologie zależne zarówno od metod jak i parametrów generacji. Dwoma krańcowymi klasami wygenerowanych grafów są grafy rzadkie o małej liczbie krawędzi oraz dużej średnicy i mimośrodowości oraz grafy gęste (w klasie IE-grafów) charakteryzujące się zwartą i względnie symetryczną strukturą.

Generowane grafy o różnych charakterystykach pozwolą na ocenę algorytmów podziału grafu głównego na podgrafy, których transformacje będą odbywały się w sposób równoległy. Może mieć to istotne znaczenie nie tylko w przetwarzaniu obrazów [7], ale również w wielu innych zastosowaniach ponieważ IE-grafy z powodzeniem były zastosowane w takich zagadnieniach jak rozproszona kontrola alokacji [10, 11], formalnym opisie refactoring [12] czy systemach wieloagentowych [13].



## Literatura

- [1] Flasiński M., *Characteristic of edNLC-graph Grammars for Syntactic Pattern Recognition*. Computer Vision, Graphics and Image Processing, vol. 42, 1989, 1–21.
- [2] Flasiński M., *On the Parsing of Deterministic Graph Languages for Syntactic Pattern Recognition*. Pattern Recognition, vol. 26, 1993, 16–93.
- [3] Ogiela L., Tadeusiewicz R., Ogiela M.R., *Cognitive Computing in Intelligent Medical Pattern Recognition Systems*. [w:] De-Shuang Huang, Kang Li, Irwin G.W. (Eds), Intelligent Control and Automation, Lecture Notes in Control and Information Sciences, vol. 344, Berlin – Heidelberg – New York, Springer-Verlag 2006, 851–856.
- [4] Rozenberg G., *Handbook of Graph Grammars and Computing by Graph Transformation: Volume I*. Foundations. Ed. World Scientific Publishing Co., NJ, 1997.
- [5] Tanaka E., *Theoretical Aspects of Syntactic Pattern recognition*. Pattern Recognition, vol. 28, no. 7, 1995, 1053–1061.
- [6] Flasiński M., *Distorted Pattern Analysis with the Help of Node Label Controlled Graph Languages*. Pattern Recognition, vol. 23, no. 7, 1990, 765–774.
- [7] Kotulski L., *Distributed Graphs Transformed by Multiagent System*. Proceedings of the 9th International Conference on Artificial Intelligence and Soft Computing ICAISC 2008, Zakopane, Poland, Lecture Notes in Artificial Intelligence.
- [8] Flasiński M., *Strukturalna analiza obrazów za pomocą gramatyk grafowych klasy ETPL(k)*. Rozprawy Habilitacyjne nr 233, Uniwersytet Jagielloński, 1992.
- [9] Flasiński M., *Power Properties of NCL Graph Grammars with a Polynomial Membership Problem*. Theoretical Computer Science, vol. 201, 1998, 189–231.
- [10] Flasiński M., Kotulski L., *On the Use of Graph Grammars for the Control of a Distributed Software Allocation*. The Computer Journal, vol. 35, 1992, A167–A175.
- [11] Kotulski L., *Parallel Allocation of the Distributed Software using Node Label Controlled Graph Grammars*. Automatyka (półrocznik AGH), t. 12. z. 2, 2008.
- [12] Kotulski L., Nowak A., *Formalizing Software Refactoring in the Distributed Environment by edNLC Graph Grammar*. SET06 IFIP Conference, Warszawa 2006, in Software Engineering Techniques: Design for Quality – Springer Series in Computer Science, ISBN: 10:0-387-39387-0, 349–360.
- [13] Kotulski L., *Supporting Software Agents by the Graph Transformation Systems*. V.L. Alexandrow et al. (Eds), ICCS 2006, LNCS 3993, Reading (UK), 887–890.